

СООБЩЕНИЯ
ОБЪЕДИНЕННОГО
ИНСТИТУТА
ЯДЕРНЫХ
ИССЛЕДОВАНИЙ
ДУБНА



СЗЧб.Чб 4974/2-76
Г-214

P2 - 9947

13/УН-76

В.Р.Гарсеванишвили, С.В.Голосков, М.И.Джгаркова,
Ю.М.Казаринов, С.П.Кулемов, В.А.Матвеев,
В.К.Митрюшкин, И.К.Поташникова, А.В.Ракитский,
И.Н.Силин

К ВОПРОСУ О πN -РАССЕЯНИИ
ПРИ ВЫСОКИХ ЭНЕРГИЯХ
В КВАЗИПОТЕНЦИАЛЬНОМ ПОДХОДЕ

1976

P2 - 9947

В.Р.Гарсеванишвили, С.В.Голосков, М.И.Джаркава,
Ю.М.Казаринов, С.П.Кулемов, В.А.Матвеев,
В.К.Митрюшкин, И.К.Поташникова, А.В.Ракитский,
И.Н.Силин

К ВОПРОСУ О πN -РАССЕЯНИИ
ПРИ ВЫСОКИХ ЭНЕРГИЯХ
В КВАЗИПОТЕНЦИАЛЬНОМ ПОДХОДЕ



Настоящая работа посвящена описанию πN -рассеяния при высоких энергиях и фиксированных передачах в рамках квазипотенциального подхода /1,2/ на основе уравнения, описывающего систему мезон-нуклон /3/. В работе /4/ был проведен подробный анализ экспериментальных данных по πN -рассеянию на основе решения этого уравнения в представлении Фолди-Войтхойзена. При этом обрабатывался экспериментальный материал по полным и дифференциальным сечениям, а также по параметрам поляризации Р и К опубликованный до конца 1971 года.

В ином подходе обрабатывались некоторые данные по мезон-нуклонному рассеянию в работе /5/, а также полные сечения в работе /6/.

Большой интерес представляет совместное описание известных в настоящее время экспериментальных данных по πN -рассеянию /см. табл. I/, которое проводится в настоящей работе на основе уравнения /3/:

$$\{E, \gamma_0 + i\beta\vec{\gamma} \cdot \vec{V} - \beta \cdot m + \frac{1}{\hat{W}} V(\vec{r}; E)\} \psi(\vec{r}) = 0, \quad /1/$$

где $\beta = 1 + \frac{\hat{\omega}}{\hat{W}}$, $\hat{\omega} = \sqrt{\mu - \vec{V}^2}$, $\hat{W} = \sqrt{m - \vec{V}^2}$, μ и m - массы

мезона и нуклона, соответственно.

Решение уравнения /1/ было предложено в работе /7/ для произвольного гладкого локального потенциала. Выбирая гладкий потенциал в виде

$$V \equiv V^{(I)} = \gamma_0 \cdot \{V_1^{(I)} + \frac{1}{p} \cdot V_2^{(I)} \cdot \vec{\Sigma} \cdot \vec{L}\}, \quad /2/$$

$$\vec{\Sigma} = \begin{pmatrix} \vec{\sigma} & 0 \\ 0 & \vec{\sigma} \end{pmatrix}; \quad \vec{L} = -i \cdot [\vec{r} \times \vec{V}],$$

Таблица 1

Реакция	Величина	Гэв/с	Число точек	Норма		Ссылка
				1	2	
$\pi^- p$	$d\sigma/dt$	9,84	9	$1,0034 \pm 0,0083$	I0	
		9,89	12	$1,0125 \pm 0,0076$	-"-	
		10,8	14	$1,0961 \pm 0,0249$	-"-	
		11,89	11	$1,0062 \pm 0,0075$	-"-	
		12,4	20	$1,0430 \pm 0,0208$	-"-	
		13,0	13	$1,1005 \pm 0,0246$	-"-	
		14,16	11	$1,0101 \pm 0,0083$	-"-	
		14,84	8	$1,1007 \pm 0,0321$	-"-	
		15,0	13	$1,0827 \pm 0,0261$	-"-	
		15,99	14	$0,991 \pm 0,0066$	-"-	
		16,0	16	$0,9924 \pm 0,0061$	-"-	
		17,0	12	$1,0624 \pm 0,0253$	-"-	
		18,19	14	$1,0126 \pm 0,0064$	-"-	
		18,4	15	$1,1194 \pm 0,0276$	-"-	
		18,9	6	$1,0663 \pm 0,0369$	-"-	
		19,75	7	$1,2328 \pm 0,0340$	-"-	
		20,15	17	$0,9938 \pm 0,0069$	-"-	
		20,38	18	$0,9799 \pm 0,0054$	-"-	
		22,13	19	$0,9888 \pm 0,0065$	-"-	
		23,18	7	$1,1443 \pm 0,0293$	-"-	
		24,22	19	$0,9855 \pm 0,0065$	-"-	
		25,34	8	$1,1172 \pm 0,0306$	-"-	
		26,23	20	$0,9706 \pm 0,0060$	-"-	
		14,15	4I	$1,0637 \pm 0,0055$	-"-	
		32,82	14	$0,9461 \pm 0,0155$	II	
		35,39	18	$0,9405 \pm 0,0140$	-"-	
		42,02	26	$1,0164 \pm 0,0074$	-"-	
		45,34	18	$1,0345 \pm 0,0135$	-"-	
		48,61	25	$1,0635 \pm 0,0098$	-"-	
		50,96	24	$1,0506 \pm 0,0102$	II	
		54,74	19	$1,0000 \pm 0,0500$	-"-	
		55,10	17	$0,9002 \pm 0,0187$	-"-	
		25,20	37	$0,9508 \pm 0,0107$	I2	
		40,10	36	$1,0078 \pm 0,0117$	-"-	
$\pi^+ p$	$d\sigma/dt$	205	15	$1,0105 \pm 0,0365$	I3	
		9,86	9	$1,0192 \pm 0,0091$	I0	
		10,02	10	$1,0722 \pm 0,0091$	-"-	
		10,80	15	$1,1003 \pm 0,0243$	-"-	
		II,95	15	$1,0120 \pm 0,0080$	-"-	
		12,40	19	$0,9550 \pm 0,0330$	-"-	
		12,80	14	$1,1083 \pm 0,0260$	-"-	

/ $\vec{\sigma}$ - матрицы Паули, а $I = 1/2; 3/2$ - изотопический индекс/, будем иметь выражение для амплитуд с определенным изотопическим спином. При этом амплитуда без переворота спина

$$T_{nf}^{(I)} = -ip \cdot \int_0^\infty \rho d\rho \cdot J_0(\Delta_\perp \rho) \cdot [e^{X_0^{(I)}(\rho)} - 1],$$

а амплитуда с переворотом спина

$$T_f^{(I)} = +i\sigma_y \cdot p \cdot \int_0^\infty \rho d\rho \cdot J_1(\Delta_\perp \rho) \cdot e^{X_0^{(I)}(\rho)} \cdot X_1^{(I)},$$

где фазы $X_{0,1}^{(I)}$ определяются равенствами:

$$X_0^{(I)} = \frac{1}{2\pi i} \cdot \int_{-\infty}^\infty dz \cdot V_1^{(I)},$$

$$X_1^{(I)} = \frac{1}{2\pi i} \cdot \frac{\rho}{2} \cdot \int_{-\infty}^\infty dz \cdot (iV_2^{(I)} + \frac{i}{p \cdot \rho} \cdot \frac{\partial}{\partial \rho} V_1^{(I)}).$$

Экспериментально измеренные величины связаны с амплитудами $T^{(I)}$ стандартными соотношениями /8/.

Потенциалы $V_{1,2}^{(I)}$ выбирались в виде

$$V_1^{(I)} = -2ip \cdot g_1 \cdot a_1^{-3/2} \cdot e^{-\frac{r^2}{4a_1}} - \\ - \left(\frac{p}{\sqrt{s_0}} \right)^{1-\xi} [g_{0,0}^{(I,1)} + g_{0,2}^{(I,2)} \cdot r^2] \cdot e^{-\frac{r^2}{4a_0^{(I,1)}}};$$

$$V_2^{(I)} + \frac{1}{p \cdot \rho} \cdot \frac{\partial}{\partial \rho} V_1^{(I)} = i \cdot \left(\frac{p}{\sqrt{s_0}} \right)^{1-\xi} [g_{0,0}^{(I,2)} + g_{0,2}^{(I,2)} \cdot r^2] \times \\ \times e^{-\frac{r^2}{4a_0^{(I,2)}}}.$$

/3/

Таблица 1 /продолжение/

I	2	3	4	5	6
$\pi^- p \rightarrow \pi^0 n$	$d\sigma/dt$				
	14,00	I2	$1,0106 \pm 0,0086$	"-	
	14,8	I3	$1,0997 \pm 0,0255$	"-	
	16,02	I8	$1,0141 \pm 0,0072$	"-	
	16,7	I3	$1,0463 \pm 0,0266$	"-	
	17,96	I7	$0,9985 \pm 0,0081$	"-	
	20,19	I7	$0,9915 \pm 0,0087$	"-	
	9,8	I4	$1,1020 \pm 0,0440$	"-	
	10,0	7	$1,0851 \pm 0,0629$	"-	
	13,3	I3	$1,2230 \pm 0,0576$	"-	
	13,3	I0	$1,2230 \pm 0,0576$	"-	
	18,2	I3	$1,0535 \pm 0,0553$	"-	
	18,2	9	$1,0535 \pm 0,0553$	"-	
	21,0	I5	$1,1297 \pm 0,0364$	I4	
	25,0	I5	$1,0589 \pm 0,0382$	"-	
	32,5	I5	$1,0272 \pm 0,0370$	"-	
	40,0	I5	$0,9882 \pm 0,0360$	"-	
	48,0	I5	$0,9644 \pm 0,0355$	"-	
$\pi^- p$	$\sigma_{\text{ном}}$	10-28,68 21-65 205	27 I9 I	I6	
$\pi^+ p$	$\sigma_{\text{ном}}$	9,84-21,I 15-60	30 I0	I6	
$\pi^- p$	P	IO,0 I2,0 IO,0 I4,0 40,0	I5 I3 2I I9 I4	IO " " I7 " " I8	
$\pi^+ p$	P	IO,6 I2,0 I4,0 IO,0 I4,0 I7,5	6 5 7 I5 I9 8	IO " " " " " " " " " "	
$\pi^- p \rightarrow \pi^0 n$	P	8,0 II,2	6 7	I7 I9	
$\pi^- p$	α	9,84-26,23	II	20	
$\pi^+ p$	α	9,86-20, I9	7	" "	
$\pi^- p$	R	16,0 40,0	8 7	I8 I8	

Таблица 2

$$\begin{aligned}
 \alpha_L &= [(1,083 \pm 0,067) + (0,481 \pm 0,015)(\ln \frac{\xi}{\xi_c} - \frac{i\pi}{2})] (\text{ГэВ}/c)^{-2} \\
 g_1 &= [(0,571 \pm 0,024) + (0,026 \pm 0,004)(\ln \frac{\xi}{\xi_c} - \frac{i\pi}{2})] (\text{ГэВ}/c)^{-2} \\
 \alpha_c^{(3/2,+)} &= (8,240 \pm 0,170) (\text{ГэВ}/c)^{-2} \\
 \alpha_c^{(3/2,-)} &= (II,800 \pm 0,3II) (\text{ГэВ}/c)^{-2} \\
 g_{s,0}^{(3/2,+)} &= [(0,131 \pm 0,006) + i(0,040 \pm 0,003)] (\text{ГэВ}/c)^2 \\
 g_{s,2}^{(3/2,+)} &= (-0,0031 \pm 0,0002) (\text{ГэВ}/c)^4 \\
 g_{s,0}^{(3/2,-)} &= [(0,0251 \pm 0,0047) - i(0,0146 \pm 0,0030)] (\text{ГэВ}/c)^2 \\
 g_{s,2}^{(3/2,-)} &= [(-2,966 \pm 0,612) \cdot 10^{-5} + i(5,484 \pm 0,249) \cdot 10^{-5}] (\text{ГэВ}/c)^4 \\
 \alpha_s^{(3/2,+)} &= [(7,487 \pm 0,133) + (0,299 \pm 0,023)(\ln \frac{\xi}{\xi_c} - \frac{i\pi}{2})] (\text{ГэВ}/c)^{-2} \\
 \alpha_s^{(3/2,-)} &= (7,866 \pm 2,532) (\text{ГэВ}/c)^{-2} \\
 g_{s,0}^{(3/2,+)} &= [(0,173 \pm 0,006) + i(0,0298 \pm 0,0035)] (\text{ГэВ}/c)^2 \\
 g_{s,2}^{(3/2,+)} &= [(-0,0045 \pm 0,0002) + i(3,53 \pm 0,64) \cdot 10^{-4}] (\text{ГэВ}/c)^4 \\
 g_{s,0}^{(3/2,-)} &= [(-0,0271 \pm 0,0122) + i(-0,0351 \pm 0,1268)] (\text{ГэВ}/c)^2 \\
 g_{s,2}^{(3/2,-)} &= [(-2,317 \pm 0,649) \cdot 10^{-5} + i(-0,598 \pm 9,506) \cdot 10^{-5}] (\text{ГэВ}/c)^4 \\
 \xi &= 0,968 \pm 0,037 \\
 S_c &= I (\text{ГэВ}/c)^2
 \end{aligned}$$

Все значения параметров, полученные в результате обработки, выписаны в табл. 2. При этом достигается описание экспериментальных данных $/\chi^2 = 1458$ при числе обработанных точек $N = 1174$ - см. табл. 1/.

На рис. 1-5 приведены некоторые кривые, построенные на основе проведенного анализа.

Подчеркнем, что выбранная параметризация ^{/3/} обеспечивает логарифмический рост полных сечений $\pi^+ p$ -рассеяния /см. рис. 1/ при высоких энергиях.

Дифференциальное сечение процесса перезарядки при $p_L = 40 \text{ ГэВ}/c$ /рис. 2/ не имеет явно выраженного "провала" при $t \sim 0$ /сравни с /4//.

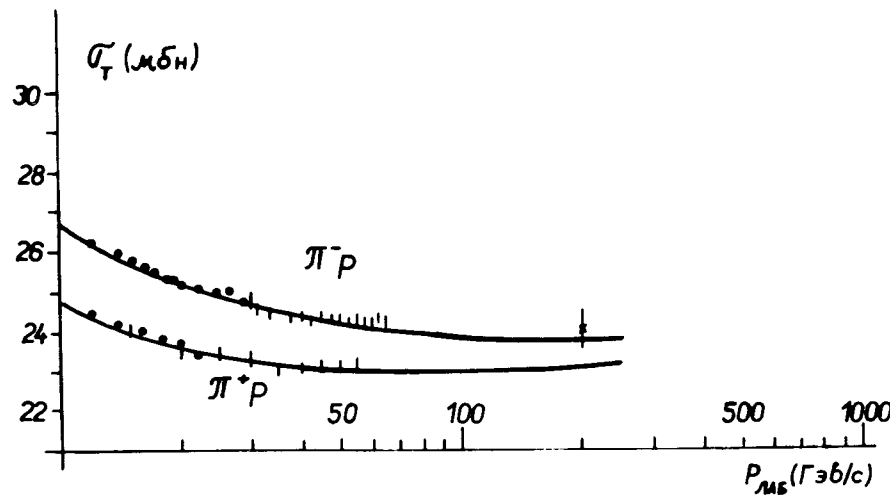


Рис. 1. Полные сечения $\pi^\pm p$ -взаимодействия.

Отметим, что предсказания для параметра поляризации R /см. рис. 5/ при $p_L = 40 \text{ ГэВ}/c$, полученные в [4], подтвердились в результате анализа, проведенного в настоящей работе.

В настоящей работе приведены только кривые при $p_L \geq 40 \text{ ГэВ}/c$. Результаты данной обработки при более низких энергиях практически совпадают с анализом, проведенным в работе [4], где и приведены соответствующие графики.

Одним из качественных результатов работы [см. также [4]] является факт положительности параметра поляризации в процессе перезарядки на малые углы. Такой же качественный вывод получается в модели комплексно-сопряженных полюсов Редже [9]. К настоящему времени проведено небольшое количество экспериментов по измерению этого параметра /максимальный импульс p_L , при котором производился эксперимент, равен $11,2 \text{ ГэВ}/c$. Параметр поляризации перезарядки является весьма критичным при проверке предсказаний различных моделей, описывающих πN -рассеяние при высоких

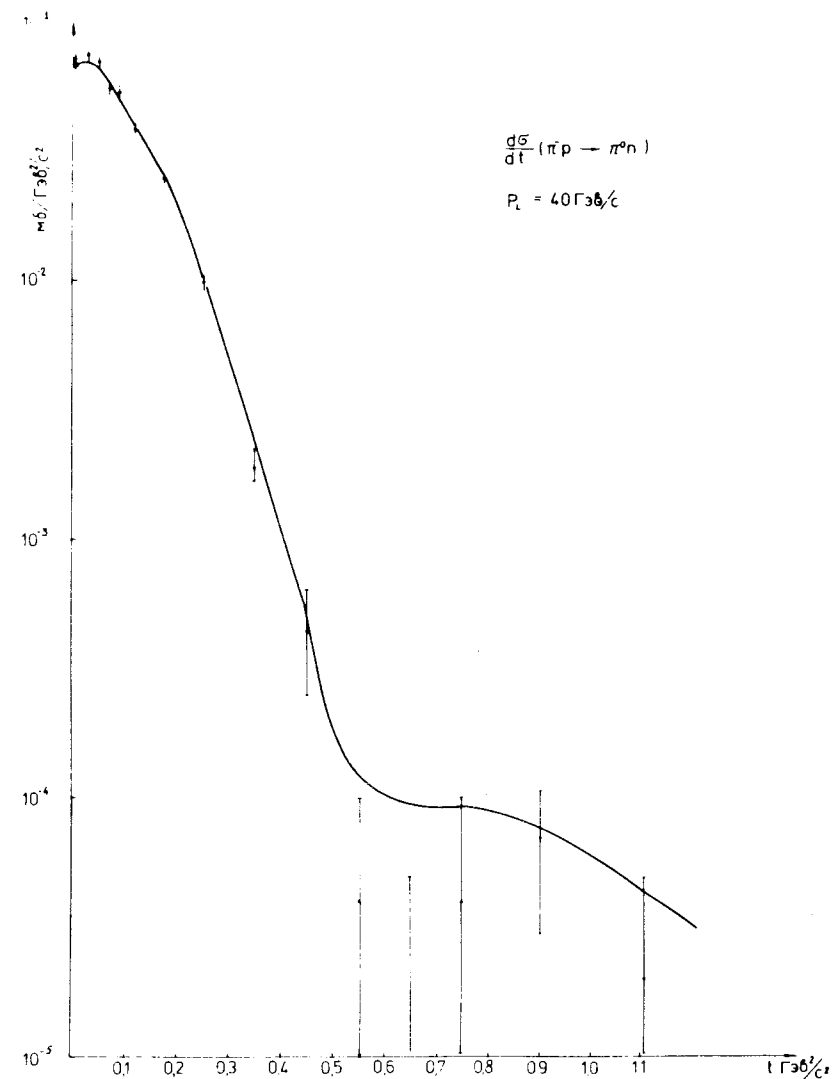
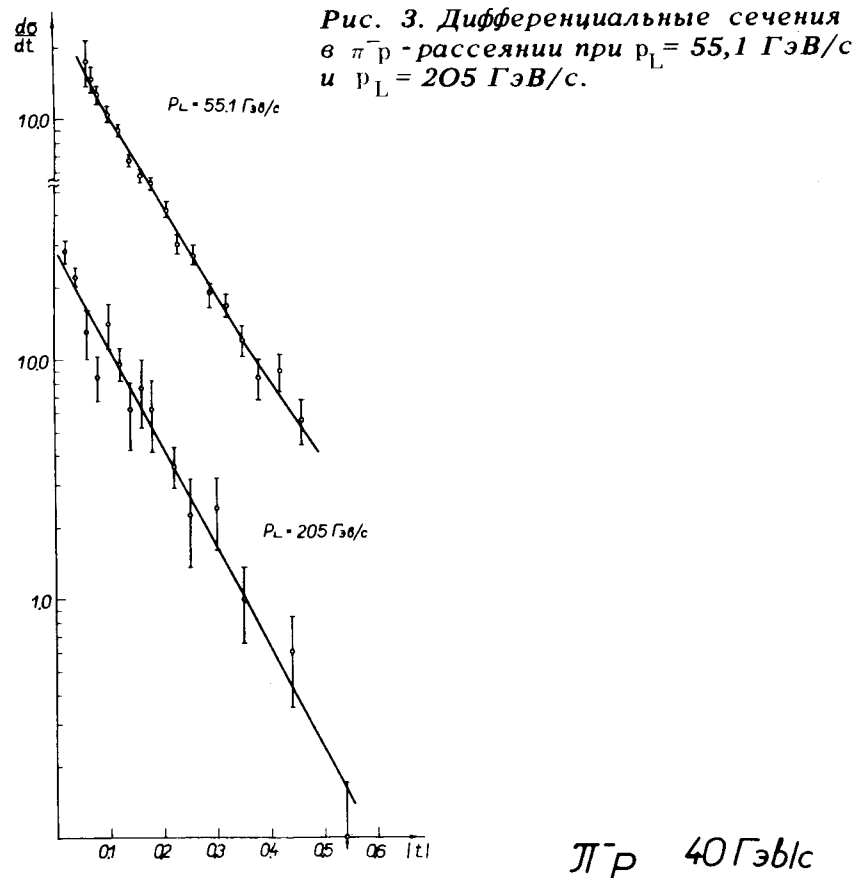


Рис. 2. Дифференциальное сечение в процессе перезарядки при $p_L = 40 \text{ ГэВ}/c$.



$\pi^-p \quad 40 \text{ ГэВ}/c$

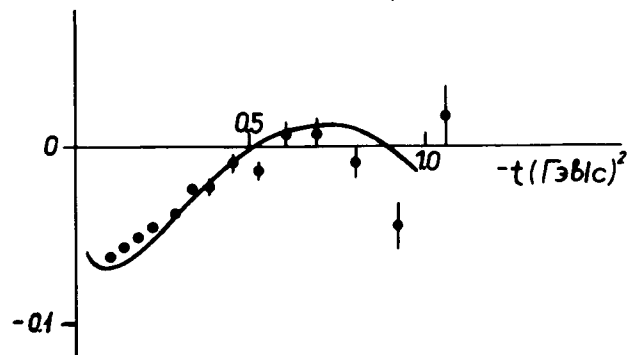


Рис. 4. Параметр поляризации R в π^-p -рассеянии при $p_L = 40 \text{ ГэВ}/c$.

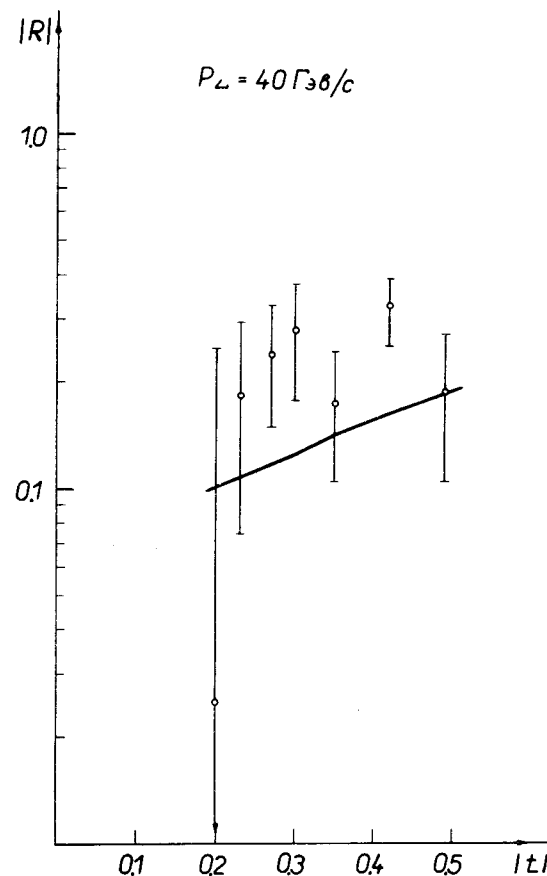


Рис. 5. Параметр поляризации R в π^-p -рассеянии при $p_L = 40 \text{ ГэВ}/c$.

энергиях. Поэтому измерение этой величины при больших значениях энергии представляется чрезвычайно важным. Отметим, что в параметризации /3/ значение радиуса взаимодействия a_1 практически не изменилось по сравнению с результатами обработки /4/.

В заключение мы рады выразить благодарность А.Н.Тавхелидзе за интерес к работе и ценные замечания, а также Н.П.Зотову, А.Н.Сисакяну и М.А.Смондыреву за полезные обсуждения.

Литература

1. A.A.Logunov, A.N.Tavkhelidze. *Nuovo Citt.*, 29, 380, 1963.
2. A.N.Tavkhelidze. *Lectures on Quasipotential Method in Field Theory*. Tata Institute of Fundamental Research, Bomбей (1964).
3. В.Р.Гарсеванишвили, С.В.Голосоков, В.А.Матвеев, Л.А.Слепченко. *ТМФ*, 12, 384 /1972/.
4. M.I.Dzhagarkava, V.R.Garsevanishvili, S.V.Goloskokov, Yu.M.Kazarinov, V.A.Matveev, I.K.Petashnikova, I.N.Silin, L.A.Slepchenko. *Nucl.Phys.*, B67, 232 (1973).
5. V.F.Edneral, O.A.Khrustalev, S.M.Troshin, N.E.Tyurin. CERN preprint, TH-2126, 1976.
6. Александров, С.Мавродиев. *ОИЯИ*, Е6-9936, Дубна, 1976.
7. С.В.Голосоков, С.П.Кулешов, В.К.Митрюшкин, М.А.Смондырев. *ТМФ*, 24, 147 /1975/.
8. Р.Иден. "Соударения элементарных частиц при высоких энергиях". М., Наука, 1970.
9. М.И.Джаркава, Ю.М.Казаринов, И.К.Петашникова, И.Н.Силин. *ЖЭТФ*, 67, 839 /1974/.
Н.П.Зотов, В.А.Царев. Лекция на Школе-семинаре по физике элементарных частиц. Сочи, 1974, Изд. ОИЯИ, Р1-2-8529, Дубна, 1975.
10. G.Giacomelli, P.Pine, S.Stagri. CERN, HERA 69-1, 1969.
11. А.А.Деревщиков, Ю.А.Матуленко и др. Препринт ИФВЭ СЭФ-73-76, Серпухов, 1973.
12. Yu.M.Antipov, G.Ascoli et al. *Nucl. Phys.*, B57, 333, 1973.
13. D.Bogert, R.Hanft, F.R.Huson et al. *Phys Rev. Lett.*, 31, 1271, 1973.
14. В.Н.Болотов, В.В.Исааков, Д.Б.Какауридзе и др. Препринт ИФВЭ СЭФ-73-52, Серпухов, 1973.
15. S.P.Denisov, Yu.P.Dmitrievski et al. *Phys. Lett.*, 36B, 528, 1971.
16. S.P.Denisov et al. *Phys.Lett.*, 36B, 415, 1971
17. M.Borghini, L.Dick et al. *Phys.Lett.*, 36B, 493, 1971.
18. C.Brunneton et al. Report at the Palermo Conference on High Energy Physics, June, 1975.
19. P.Bonami, R.Borgeaud et al. *Nucl. Phys.*, B16, 335, 1970.
20. O.V.Dumbrais. JINR E2-5847, Dubna, 1971.
21. A. de Lesquen, B.Amblard et al. Saclay preprint, March, 1972

Рукопись поступила в издательский отдел
7 июля 1976 года.